

بیان ژن ۱- دئوکسی گزیلولوز ۵- فسفات ردوکتاز ایزومراز و ارتباط آن با بیوستز مونوترپن کارواکرول در گیاه مرزه خوزستانی

پروین رامک^۱، شاهرخ کاظم پور اوصالو^{۱*}، حسن ابراهیم‌زاده^۲، مظفر شریفی^۱ و مهرداد بهمنش^۳

^۱ تهران، دانشگاه تربیت مدرس، دانشکده علوم زیستی، گروه علوم گیاهی

^۲ تهران، دانشگاه تهران، دانشکده زیست‌شناسی، گروه علوم گیاهی

^۳ تهران، دانشگاه تربیت مدرس، دانشکده علوم زیستی، گروه ژنتیک

تاریخ دریافت: ۹۱/۴/۴ تاریخ پذیرش: ۹۱/۸/۹

چکیده

گیاه دارویی مرزه خوزستانی (*Satureja khuzistanica* Jamzad) یک گیاه بومی می‌باشد که در مناطقی از جنوب ایران پراکنش دارد. مونوترپن کارواکرول عمده‌ترین ترکیب اسانس گیاه مرزه خوزستانی را تشکیل می‌دهد (۹۰٪) و این امر سبب خاصیت آنتی‌اکسیدانی قابل توجه اسانس این گیاه شده است. در این تحقیق، ریز شاخه‌های مرزه خوزستانی در محیط LS به مدت ۲۱ روز تحت تأثیر غلظت‌های مختلف (۰، ۱۰، ۲۵، ۵۰، ۷۵ و ۱۰۰ میکرومولار) بازدارنده‌های فوسمیدومیسین و مونیولین قرار گرفتند. سپس میزان کارواکرول در تیمارهای مختلف به وسیله HPLC سنجش و مقایسه شد. همچنین بیان ژن آنزیم- دئوکسی گزیلولوز ۵- فسفات ردوکتاز ایزومراز (DXR) در غلظت‌های ذکر شده و غلظت بهینه (۷۵ میکرو مولار) از بازدارنده‌های مذکور، در بازه زمانی صفر تا ۱۰۰ ساعت در مقایسه با نمونه شاهد، با روش Semi-quantitative RT-PCR بررسی شد. نتایج نشان داد که بازدارنده‌های بکار برده شده در بعضی از غلظت‌ها بر میزان کارواکرول و بیان ژن DXR اثر می‌گذارند و روند تغییرات به گونه‌ای است که می‌توان بخشی از تنظیم بیوستز کارواکرول را در سطح نسخه‌برداری از ژن DXR در نظر گرفت.

واژه‌های کلیدی: ۱- دئوکسی گزیلولوز ۵- فسفات ردوکتاز ایزومراز، کارواکرول، مرزه خوزستانی، Semi-quantitative RT-PCR

* نویسنده مسئول، تلفن: ۸۲۸۸۴۴۰۴، پست الکترونیکی: skosaloo@gmail.com

مقدمه

دارویی فراوانی هستند و در اقتصاد و سلامت انسان‌ها نقش مهمی دارند (۵ و ۲۸).

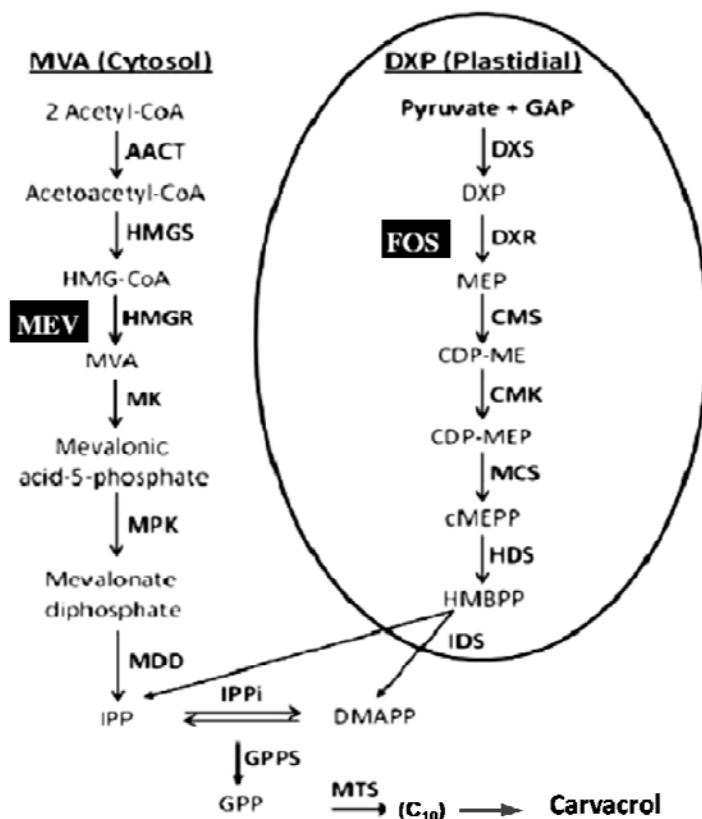
تا قبل از کشف مسیر متیل اریتریتول فسفات کلروپلاستی (MEP)، تصور می‌شد که پیش‌ساز IPP در گیاهان همانند جانوران منحصراً از مسیر مولونات (MVA) تأمین می‌شود. Bach و Lichtenthaler در سال ۱۹۸۳ با به‌کار بردن ماده مونیولین (mevinoloin) که بازدارنده اختصاصی آنزیم ۳- هیدروکسی متیل و ۳- متیل گلوکوتاریل کوانزیم A ردوکتاز (HMGR) می‌باشد، اظهار داشتند که احتمالاً

مونوترپن‌ها گروه بزرگی از ترپنوئیدها هستند که از سلولهای گیاهان تک لپه، دولپه، قارچ‌ها و جلبک‌ها ترشح می‌شوند و مثل همه‌ترین‌های دیگر از ایزوپنتنیل دی فسفات (IPP) و ایزومر آن دی متیل آلایل دی فسفات (DMAPP) منشأ دارند. مونوترپن‌ها برای خود گیاه نقش دفاعی و حمایتی داشته و در جذب حشرات گرده افشان، دفع آفات و مقاومت در برابر تنش‌های محیطی به گیاه کمک می‌کنند. این مواد همچنین دارای ارزش صنعتی و

چگونگی فعالیت آنزیم HMGR در گیاهان بسیار پیچیده‌تر از جانوران بوده و بر خلاف جانوران در گیاهان این آنزیم به‌وسیله یک خانواده ژنی کد می‌شود (۹، ۱۰، ۵۵ و ۵۹).

مسیر MEP کلروپلاستی با عمل یک آنزیم همجگالشی از نوع ترانس کتولاز تحت عنوان ۱- دئوکسی گزیلوز ۵- فسفات سنتاز (DXS, EC 2.2.1.7) آغاز می‌گردد. این آنزیم ماده ۱- دئوکسی گزیلوز ۵- فسفات (DXP) را با یک واکنش تراکمی بین دو پیش‌ساز گلیسرآلدئید فسفات و پیروات، سنتز می‌کند (۴۷). آنزیم بعدی که با عمل بر روی DXP تولید ۲- c- متیل اریتریتول ۴- فسفات (MEP) می‌کند، آنزیم DXP ردوکتاز ایزومراز (DXR, EC 1.1.1.267) است که آخرین آنزیم در مسیر تولید MEP می‌باشد؛ پس از تولید MEP چند مرحله آنزیمی پیاپی دیگر تا تولید IPP وجود دارد (۲۷ و ۴۷) (شکل ۱).

یک مسیر موالونات مجزا در کلروپلاست‌ها وجود دارد و احتمال حضور آنزیم HMGR کلروپلاستی را مطرح کردند. در سال ۱۹۹۶ مسیر MEP کلروپلاستی به‌وسیله تحقیقات Rohmer و همکاران قاطعانه ثابت گردید. هم‌اکنون این واقعیت پذیرفته شده است که پیش‌ساز IPP در گیاهان از دو مسیر کاملاً مجزا یعنی MVA سیتوسولی و MEP کلروپلاستی قابل تأمین است (۴۶). در گیاهان، آنزیم ۳- هیدروکسی متیل و ۳- متیل گلووتاریل کوانزیم A ردوکتاز (HMGR, EC 1.1.1.34) به عنوان آنزیم کلیدی مسیر بیوسنتزی MVA شناخته شده است (۲۶) (شکل ۱). این آنزیم ماده ۳- هیدروکسی متیل و ۳- متیل گلووتاریل کوانزیم A را با استفاده از دو مولکول NADPH به موالونیک اسید تبدیل می‌کند، موالونیک اسید اولین حد واسط اختصاصی مسیر بیوسنتزی MVA می‌باشد.



شکل ۱- مسیرهای بیوسنتزی متیل اریتریتول فسفات (MEP) و موالونات (MVA)، (منبع با اندکی تغییرات (۳۵)

AACT acetoacetyl-coenzyme A thiolase; *CDP-ME 4*-(cytidine 5₋-diphospho)-2-C methyl-D-erythritol; *CDP-MEP* CDP-ME-2-phosphate; *cMEPP* 2-C-methyl-D-erythritol 2,4-cyclodiphosphate; *CMK* 4-(cytidine 5₋-diphospho) 2-C-methyl-D-erythritol kinase; *CMS* 2-C-methyl- D-erythritol 4-phosphate transferase; *DMAPP* dimethylallyl diphosphate; *DXP* 1-deoxy-D-xylulose 5-phosphate; *DXR* DXP reductoisomerase; *DXS* *DXP* synthase; *FOS* Fosmidomycine; *GAP* glyceraldehyde 3-phosphate; *GPP* geranyl diphosphate; *GPSS* GPP synthase; *HDS* 1-hydroxy-2-methyl-2-(E)-butenyl 4-diphosphate; *HMBPP* 1-hydroxy-2-methyl-2-(E)-butenyl 4-diphosphate synthase; *HMG-CoA* 3-hydroxy-3-methylglutaryl coenzyme A; *HMGR* HMG-CoA reductase; *HMGS* HMG-CoA synthase; *IDS* isopentenyl diphosphate/dimethylallyl diphosphate synthase; *IPP* isopentenyl diphosphate; *IPPi* IPP isomerase; *MCS* 2-C-methyl-D erythritol- 2,4-cyclodiphosphate synthase; *MDD* mevalonate diphosphate decarboxylase; *MEP* 2-C methyl-D-erythritol 4-phosphate; *MK* MVA kinase; *MEV* Mevinolin; *MPK* mevalonate-5-phosphate kinase; *MTS* monoterpene synthase; *MVA* mevalonate

تاکنون در گیاه دیگری گزارش نشده است. همین امر سبب شده است تا در سال‌های اخیر تحقیقات داروشناسی و پزشکی زیادی روی اثرات ضد ویروسی، ضد میکروبی، ضد قارچی و آنتی‌دیابتیک و آنتی‌اکسیدانت برخی اجزای سازنده اسانس این گونه صورت بگیرد (۱، ۲، ۳، ۴، ۵، ۶، ۷، ۲۰، ۲۲، ۳۳، ۴۹، ۵۰ و ۵۴). البته نباید فراموش کرد که عملکرد اسانس در این گیاه پائین است (۲۲ و ۴۹)، از این رو شناخت عملکرد فیزیولوژی و مولکولی آنزیم‌های دخیل در مسیر بیوسنتز مونوترپن کارواکرول در گیاه مرزه خوزستانی، اولین قدم در مسیر بکارگیری ابزارهای مهندسی متابولیت برای افزایش عملکرد اسانس در این گیاه خواهد بود.

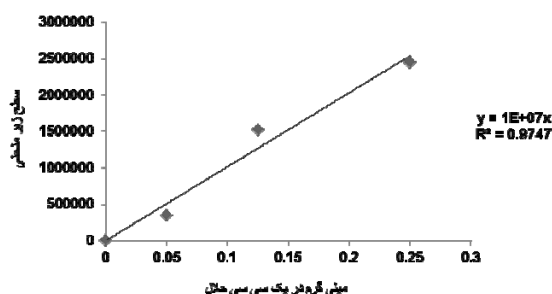
مونولین از گروه استاتین‌ها (Statins) با فرمول شیمیایی $C_{24}H_{36}O_5$ و وزن مولکولی g/mol ۴۰۴، در مسیر بیوسنتزی MVA به عنوان بازدارنده اختصاصی آنزیم کلیدی HMGR شناخته شده است (۹، ۳۷ و ۵۵) و فوسمیدومیسین با فرمول شیمیایی $C_4H_{10}NO_5P$ و وزن مولکولی g/mol ۱۸۳ به لحاظ ساختاری همساخت ۲-سی-۲-متیل-D-اریتروز ۴-فسفات (DXP) بوده و با اشغال جایگاه فعال آنزیم کلیدی DXR، شناخته‌شده‌ترین بازدارنده اختصاصی مسیر MEP می‌باشد (۱۹، ۳۲، ۳۴ و ۶۲). این بازدارنده‌ها تاکنون دست‌مایه تحقیقات متعددی در چگونگی شناخت فیزیولوژی و مولکولی مسیرهای بیوسنتزی MEV و MEP، نقش این مسیرها در بیوسنتز محصولات نهایی (End product) و نیز میزان مشارکت

مرزه خوزستانی (*Satureja khuzistanica*) گیاهی با خواص دارویی متعدد است که در جنوب غرب ایران رویش دارد. هشت جمعیت از این گیاه در استان‌های لرستان، ایلام و خوزستان ($32^{\circ}45' N$ and $33^{\circ}01' N$)، در ارتفاع ۱۱۰۰-۴۹۰ و در مناطق سنگلاخی و خاک‌های فقیر با اسیدیته ۷/۹ تا ۸/۲ پراکنش دارند. میزان مونوترپن کارواکرول در اسانس جمعیت‌های این گیاه ۷۹۵-۸۹/۵٪ می‌باشد (۲۱).

کارواکرول $(C_6H_5CH_2)(C_3H_7)(C_3H_7O)$ یک مونوترپن تک حلقه‌ای است که در اسانس بعضی از گیاهان تیره نعناع همانند پونه کوهی (*oregano*)، آویشن (*thyme*) و مرزه (*savory*) با غلظت بالا دیده می‌شود (۸، ۱۸ و ۵۳). کارواکرول مشتق هیدروکسیله P-سیمن (*p-Cymene*)، $C_{10}H_{14}$ می‌باشد و به دلیل حضور گروه هیدروکسیل در ساختار، اثرات ضد میکروبی بمراتب قویتر از پیش‌سازش دارد (۵۷). قدرت میکروب‌کشی کارواکرول، همانند دیگر مواد فنلی به دلیل افزایش نفوذپذیری غشاء‌های میکروارگانیسم‌ها نسبت به پروتون و پتاسیم و در نتیجه از بین رفتن نیروی محرک پروتونی غشاها، عدم کارایی پمپ‌های پروتونی و تخلیه انرژی می‌باشد. همچنین تغییرات شدید اسیدیته درون سلولی و به دنبال آن تشکیل اکسیژن‌های فعال، سبب اکسیداسیون چربی‌ها و پروتئین‌ها شده و در نهایت سبب فروپاشی سلول می‌گردد (۲۴ و ۵۸).

میزان خلوص بالای کارواکرول در اسانس این گیاه یک ویژگی منحصر به فرد است که با توجه به اطلاعات ما،

۲۰ : ۱ درصد) بود. میزان کارواکروال در نمونه‌ها بر اساس سطح زیرمنحنی و با استفاده از منحنی استاندارد و حجم محلول نهایی محاسبه گردید. منحنی استاندارد کارواکروال براساس سطح زیرمنحنی ترکیب کارواکروال (sigma, 282197) در سه غلظت ۰/۳، ۰/۵ و یک میلی‌گرم در یک سی سی حلال استونیتریل (Merck) به‌دست آمد (شکل ۲).



شکل ۲- منحنی استاندارد کارواکروال

همچنین از دستگاه کروماتوگراف گازی متصل به طیف نگار جرمی (GC/MS) از شرکت Agilent Technology (HP)، مجهز به ستون DB-5 به طول ۳۰ متر، قطر داخلی ۰/۲۵ میلی‌متر و ضخامت لایه فاز ساکن ۰/۲۵ میکرومتر، برای تفکیک و شناسایی ترکیبات موجود در عصاره اتانلی استخراج شده از نمونه‌ها استفاده شد. برنامه حرارتی ستون از ۶۰°C شروع شده و پس از ۵ دقیقه توقف در همان دما، به تدریج با سرعت ۳ درجه در دقیقه افزایش یافته تا به ۲۱۰°C رسید. دمای محفظه تزریق ۳۰۰°C بود و دتکتور دستگاه GC از نوع FID بود که دمای آن ۲۷۰°C تنظیم شد. از گاز هلیم به عنوان گاز حامل استفاده شد که فشار ورودی به ستون برابر ۳Kgcm⁻² بود. مدل طیف نگار جرمی مورد استفاده Technologies 5973 Network بود که مجهز به دتکتور Mass selective با ستون HP-5 (30 m × 0.25 mm id) بود. برنامه‌ریزی حرارتی ستون شبیه به برنامه‌ریزی دستگاه GC بود، با این تفاوت که دمای نهایی ستون تا ۲۵۰°C بالا برده شد. دمای محفظه تزریق ۱۰۰°C

(Crosstalk) این دو مسیر در بیوستنز انواع ترپن‌ها در گیاهان مختلف بوده‌اند (۴، ۳۶، ۳۷ و ۵۶).

مواد و روشها

مواد گیاهی و اعمال تیمار: ریز شاخه‌های (Shoot culture) ۳cm گیاه مرزه خوزستانی که در محیط درون شیشه تکثیر شده بودند (۴۴) در محیط غذایی LS (۳۸) که محتوی بازدارنده‌های مویولین و فوسمیدومیسین در پنج غلظت (۵، ۲۵، ۵۰، ۷۵ و ۱۰۰ میکرومول در لیتر) بود به مدت ۲۱ روز کشت شدند. محیط عاری از بازدارنده‌ها هم به عنوان شاهد در نظر گرفته شد. شیشه‌های کشت در ژرمیناتور با شرایط نوری ۱۶ ساعت روشنایی و ۸ ساعت تاریکی و دمای ۲۵°C قرار داده شدند.

بازدارنده‌ها: مویولین (Sigma, M2147) به روش Rodriguez-Conception و Gruissem (۱۹۹۹) به فرم فعال تبدیل شد و بعد استوک اصلی به وسیله آب دیونیزه به غلظت ۱۰ mM تهیه و در دمای ۴ درجه سانتی‌گراد تا زمان مصرف نگهداری شد. فوسمیدومیسین (Sigma, F8682) در آب دیونیزه حل و استوک اصلی با غلظت ۱۰ mM در دمای ۲۰- نگهداری شد.

استخراج عصاره و سنجش کارواکروال: به‌منظور استخراج کارواکروال از روش Ji و همکاران (۲۰۰۴) با اندکی تغییرات استفاده شد، به این صورت که: ۲ گرم از ماده تر گیاهی در ۱۰ میلی‌لیتر اتانل ۹۵٪ سائیده شده و پس از ۳۰ دقیقه شیک شدن به مدت یک ساعت سونیکیت شد (2200EP S3-50HZ). عصاره استخراج شده به وسیله دستگاه‌های HPLC و GC/MS مورد سنجش قرار گرفت. دستگاه HPLC مدل UV/Vis detector 2500 (Knauer) و ستون بکاربرده شده ODS3 (C18: 250mm-4.6mm) بود. طول موج دستگاه روی ۲۷۴ نانومتر تنظیم شد، سرعت جریان حلال نیز ۱/۲ میلی‌لیتر بر دقیقه و فاز متحرک به صورت ایزوکراتیک، حاوی متانل، آب و استیک اسید (۸۰

cDNA با استفاده از کیت (Cinagene) مطابق دستورالعمل پیشنهادی شرکت سازنده استفاده شد.

بررسی بیان ژن ۱- دئوکسی گزیلولوز ۵- فسفات ردوکتاز ایزومراز (DXR): به منظور بررسی بیان ژن ۱- دئوکسی گزیلولوز ۵- فسفات ردوکتاز ایزومراز (DXR) از دو دسته آغازگرهای طراحی شده، پیشرو 5'-3'-CCTTTCGTCCTTCCTTGC- و برگشتی 5'-3'-ATG AAT CCT GTG TTT CGA CC- استفاده شد و برای کنترل داخلی از آغازگرهای اختصاصی پیشرو- 5'-3'-GCA GGG ATC CAC GAG ACC ACC و برگشتی 5'-3'-CCC ACC ACT GAG CAC AAT GTT CC- برای تکثیر cDNA ژن اکتین (House keeping)، متعلق به گیاه *Linum usitatissimum* که از سایت NCBI با Accession number (GR508908) بدست آمد، در RT-PCR استفاده شد. برای بررسی بیان ژن DXR به صورت نیمه کمی در مقایسه با کنترل داخلی، در آزمایش‌های مقدماتی غلظت بهینه پرایمرها و cDNA مشخص شد، همچنین تعداد مناسب چرخه‌ها و دمای بهینه اتصال (Annealing) با استفاده از گرادیان چرخه‌ها و دما برای هر یک از ژن‌ها، تعیین گردید. بهترین شرایط تکثیر تعداد ۳۵ چرخه تعیین شد که مبنای انتخاب بر اساس نرسیدن به وضعیت ثابت در تکثیر محصول PCR بود، همچنین بهترین دمای اتصال پرایمرها برای ژن DXR ۵۲°C و برای اکتین ۵۸°C تعیین شد. چرخه‌های دمایی مورد استفاده PCR به ترتیب شامل ۹۵ درجه سانتیگراد به مدت ۲ دقیقه بود که بعد ۳۵ چرخه با ۹۴ درجه سانتیگراد به مدت ۴۵ ثانیه، دمای اتصال برای ژن اکتین (۵۸°C) و ژن DXR (۵۲°C) به مدت ۴۵ ثانیه، تکثیر ۷۲ درجه سانتیگراد به مدت ۴۵ ثانیه و تکثیر نهایی در ۷ دقیقه دنبال شد. در پایان محصولات PCR بر روی ژل آگارز (۱٪) الکتروفورز و پس از رنگ‌آمیزی با اتیدیوم بروماید (Ethidium bromide) به مدت ۳۰ دقیقه مشاهده و عکسبرداری شد. برای ارزیابی کمی بیان ژن‌ها از مقایسه شدت چگالی

بالاتر از دمای نهایی ستون (۲۶۰°C) تنظیم شد و انرژی یونیزاسیون ۷۰ الکترون ولت بود.

در تحلیل‌های آماری، از داده‌های حاصل از هر دو روش HPLC و GC/MS برای تعیین مقدار کارواکول موجود در نمونه‌ها استفاده شد.

طراحی آغازگرها: از آنجائیکه در پایگاه بین‌المللی NCBI، گزارشی از توالی ژن ۱- دئوکسی گزیلولوز ۵- فسفات ردوکتاز ایزومراز از گونه‌های سرده مرزه موجود نبود، از این رو با الگو قراردادن توالی ژن ۱- دئوکسی گزیلولوز ۵- فسفات ردوکتاز ایزومراز در گیاه *Salvia militorrhiza* (FJ768959.1) و بلاست کردن توالی این ژن با نرم‌افزار تحت وب NCBI Blast و هم‌ردیف‌سازی توالی‌های بدست‌آمده با نرم‌افزار تحت وب ClastaW نوکلئوتیدهای تغییر نیافته مشخص و با استفاده از نرم‌افزارهای Gene Raner و Oligo5 آغازگرها طراحی شدند. آغازگرها به وسیله شرکت کره ای BIONEER با درجه خلوص High Purified Salt Free (HPSF) به صورت لیوفیلیز ساخته شدند. در ادامه از آغازگرهای طراحی شده برای تکثیر cDNA با طول قطعات ۳۷۵ bp استفاده شد. محصول PCR توسط یک شرکت کره ای (Macrogen) تعیین توالی شد و توالی مذکور پس از تأیید نهایی با Accession number (AB677954) در پایگاه بین‌المللی NCBI ثبت گردید.

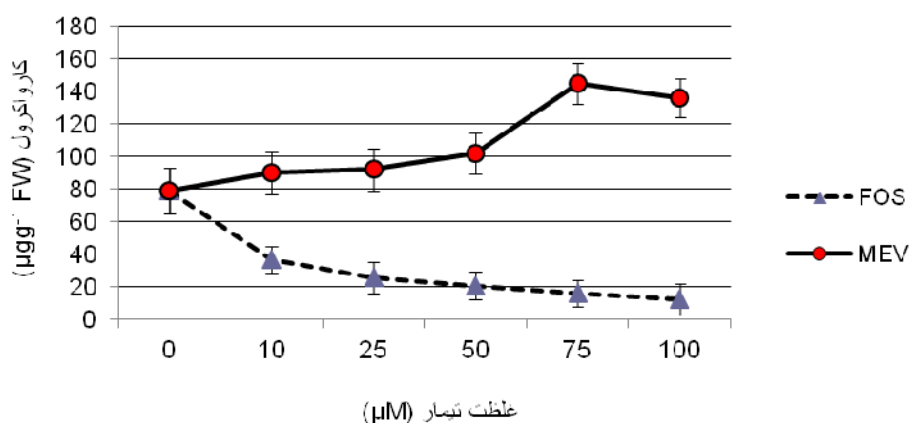
واکنش زنجیره ای ترنس کریپتاز معکوس (RT-PCR): RNA کل از برگ‌ها با استفاده از (RNA extraction solution) مطابق دستورالعمل پیشنهادی شرکت سازنده (Cinagene) استخراج شد. کمیت و کیفیت RNA استخراج شده با استفاده از ژل آگارز، نانو درآپ و اسپکتروفتومتر (WPA, Biowave II) ارزیابی گردید. ۱۰۰ نانو گرم از RNA کل با استفاده از اولیگومر تیمیدین (Oligo- dT₁₈) به عنوان آغازگر (Primer) برای ساختن

تحلیل آماری: آزمایش به صورت طرح کاملاً تصادفی اجرا شد و برای ارزیابی اثر تیمارها بر فاکتورهای مورد سنجش، داده‌ها با نرم افزار SPSS Var.18 آنالیز واریانس شدند و مقایسه میانگین‌ها با آزمون دانکن و با ضریب اطمینان ۹۵٪ انجام شد.

نتایج و بحث

تجزیه واریانس داده‌ها نشان داد که فوسمیدومیسین سبب کاهش شدید مقدار کارواکول در گیاه تحت تیمار شده است (شکل ۳)، به طوری که در غلظت $100 \mu\text{M}$ مقدار کارواکول به کمتر از ۱۶ میکروگرم در گرم وزن تر رسید.

باند‌های ژن نسبت به کنترل داخلی و از نرم‌افزار Image Guage var.4 استفاده شد. برای تعیین ماهیت و صحت عملکرد آغازگرهای اکتین، قطعات حاصل از PCR برای تعیین توالی به شرکت سینا ژن ارسال شد. بیان ژن *DXR* در تیمارهای مونیولین و فوسمیدومیسین با غلظت‌های ۱۰، ۲۵، ۵۰، ۷۵ و ۱۰۰ میکرومولار سنجیده شد و همچنین بیان این ژن در تیمارهای ۷۵ میکرومولار مونیولین و فوسمیدومیسین (غلظت‌های بهینه) در بازه زمانی صفر تا ۱۰۰ ساعت در مقایسه با نمونه شاهد مورد سنجش قرار گرفت. برای بررسی بیان ژن از هر تیمار حداقل دو تکرار مستقل (هر تکرار شامل ترکیب همگن حداقل سه ریز شاخه بود که به طور مجزا تیمار داده شده بودند) استفاده شد و از میانگین بیان ژن‌ها در هر تیمار برای ارزیابی نهایی استفاده شد.



شکل ۳- اثر تیمارهای مونیولین و فوسمیدومیسین بر میزان کارواکول

های این گیاه شد، به طوری که پس از گذشت یک ساعت مقدار ترشح مونوترپن‌های ذکر شده تقریباً به صفر رسید. مطالعاتی که روی تغییرات مهندسی متابولیت‌ها در گونه *Mentha* × *Piperita* از تیره نعناع (Lamiaceae) انجام شده حکایت از آن داشت که منبع اصلی تأمین پیش‌سازهای IPP و DMAPP برای بیوسنتز مونوترپن‌ها در این گیاه، مسیر MEP کلروپلاستی می‌باشد (۶۰). همچنین روشن

اسپری فوسمیدومیسین بر روی برگ‌های درخت هوآ (*Hevea brasiliensis*)، سبب کاهش شدید مونوترپن‌های سابینین (Sabinene)، آلفا و بتا پینین شده است (۱۵)، همچنین تحقیقات Loreto و همکارانش (۲۰۰۴) بر روی گیاه بلوط سبز (*Quercus ilex*) نشان داد که فوسمیدومیسین با غلظت ۳۰ میکرومول سبب کاهش سریع در ترشح مونوترپن‌های سابینین، آلفاپینین و بتاپینین از برگ

خانواده سیتوکروم P450 با بیوسنتز کارواکرو، تیمول (۱۶)، ترنس کاروئول، ترنس ایزو پیرتئول (۴۲) و دیگر مونوترپن‌ها در تحقیقات متعددی تأیید شده است (۱۱) و (۱۳).

آنالیزهای نیمه کمی با نرم‌افزار Image Guage و همچنین تجزیه واریانس داده‌های حاصل از اندازه‌گیری بیان ژن *DXR* در غلظت‌های مختلف از بازدارنده‌های ماینولین و فوسمیدومیسین نشان داد (شکل ۴) که میزان بیان ژن *DXR* در تیمارهای فوسمیدومیسین با غلظت‌های ۱۰ و ۲۵ میکرومولار به لحاظ آماری نسبت به شاهد معنی‌دار نیست، اما غلظت‌های ۵۰، ۷۵ و ۱۰۰ میکرومولار فوسمیدومیسین سبب افزایش معنی‌دار در بیان ژن *DXR* شده‌اند. همچنین ردگیری بیان ژن *DXR* در مسیر زمان (Time-course gene expression) (شکل ۵) نشان می‌دهد که بیان ژن *DXR* در نمونه شاهد از زمان صفر تا ۱۰۰ ساعت تغییر معنی‌داری نشان نداده است و تیمار ۷۵ میکرومولار فوسمیدومیسین در ساعت‌های ۳، ۶، ۱۲ و ۲۴ سبب افزایش معنی‌دار بیان ژن *DXR* نسبت به شاهد شده است، در صورتیکه پس از ۲۴ ساعت بیان این ژن دچار کاهش معنی‌داری نسبت به شاهد شده است.

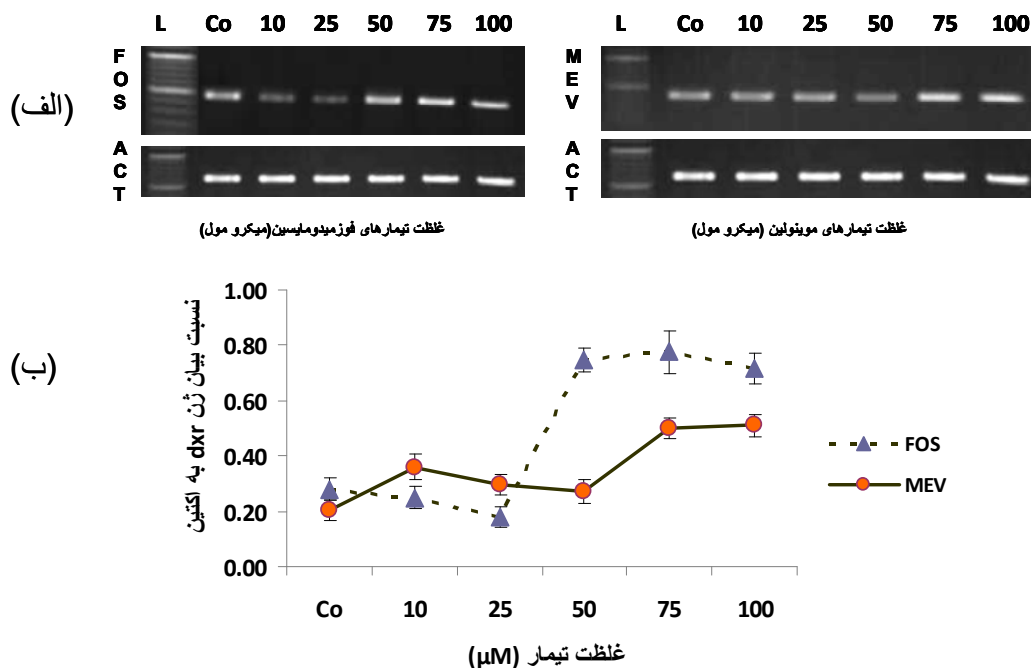
تحقیقات Carretero-Paulet و همکاران (۲۰۰۲) نشان داده که یک ساعت پس از تیمار گیاهچه‌های آراییدوپسیس با فوسمیدومیسین، بیان ژن و میزان پروتئین آنزیم *DXR* به بیشترین مقدار نسبت به نمونه شاهد رسید که این امر می‌تواند ناشی از یک تنظیم بازخورد منفی (feedback suppression) در پاسخ به مسدود شدن شدید فعالیت آنزیم *DXR* به وسیله فوسمیدومیسین باشد. همچنین در سوسپانسیون سلولی گیاه تاکسوس چینی، بازدارنده‌های فوسمیدومیسین و ماینولین سبب تحریک بیان ژن آنزیم *DXR* (*Taxus chinensis*) شدند (۶۳). اما گزارش Laule و همکاران (۲۰۰۳) نشان داد که بیان ژن کدکننده آنزیم *DXR* در نمونه‌های تحت تیمار بازدارنده‌های ماینولین و

شده است که فراهمی این سازها یک عامل تعیین‌کننده در بیوسنتز مونوترپن‌ها می‌باشد (۴۱). اما مطالعات Schuhr و همکاران روی گیاه پروانش (*Catharanthus roseus*) در سال ۲۰۰۳ شواهدی دال بر مشارکت دو مسیر *MVA* سیتوسولی و *MEP* کلروپلاستی در تأمین پیش‌سازهای *IPP* و *DMAPP* برای تولید مونوترپن‌ها ارائه می‌دهد و تحقیقات Hampel و همکاران روی گیاه تمشک (*Fragaria xananassa*) در سال ۲۰۰۷ نشان داد که مسیر *MEP* کلروپلاستی هیچ نقشی در بیوسنتز مونوترپن‌های الفا پینین (α -pinene)، لینالول (linalool)، آلفا و بتا ایونون (α -and β -ionone) ندارد و مسیر *MVA* سیتوسولی بیوسنتز مونوترپن‌های ذکر شده را عهده‌دار می‌باشد.

نتایج این تحقیق نشان داد که بازدارنده ماینولین در غلظت‌های ۱۰، ۲۵ و ۵۰ میکرومولار بر میزان کارواکرو بی تأثیر بوده اما غلظت‌های ۷۵ و ۱۰۰ میکرومولار از این بازدارنده سبب افزایش معنی‌دار میزان کارواکرو نسبت به شاهد شده‌اند. تحقیقات Dudareva و همکاران در سال ۲۰۰۵ بر روی گیاه گل‌میمون (*Antirrhinum majus*) نیز نشان داده است که غلظت ۵۰ میکرومول از بازدارنده ماینولین تأثیری بر بیوسنتز مونوترپن‌ها در این گیاه ندارد. گزارشی در خصوص اثر افزایش ماینولین بر مونوترپن‌ها موجود نمی‌باشد. اما می‌توان گفت، افزایش مونوترپن کارواکرو در غلظت‌های بالای ماینولین (۷۵ و ۱۰۰ میکرومولار) می‌تواند نتیجه نوعی پاسخ دفاعی و سازگاری گیاه مرزه خوزستانی برای مقابله با آثار ماینولین باشد، زیرا برخی تحقیقات نشان داده‌اند که سلول‌های گیاهی وقتی به مدت طولانی در معرض ماینولین قرار می‌گیرند، سعی می‌کنند (به حد امکان) خود را با شرایط سازگار نمایند، از این رو اقدام به خنثی‌سازی (Neutralized) ماینولین به وسیله آنزیم‌هایی خاص می‌کنند (۲۵)، آنزیم‌های عضو خانواده سیتوکروم P450 از مهمترین آنزیم‌هایی هستند که در این خنثی‌سازی مشارکت می‌کنند (۳۰). البته همبستگی مثبت بین میزان بیان و فعالیت برخی آنزیم‌های عضو

که تیمار ۷۵ میکرومولار موینولین سبب افزایش بیان ژن *DXR* از ساعت ۳ تا ۴۸ شده است که البته پس از طی ۴۸ ساعت بیان ژن *DXR* نسبت به شاهد تغییر معنی‌داری را نشان نداد. البته مقایسه این داده‌ها با میزان بیوستنز کارواکول (شکل ۳)، یک همبستگی مثبت بین افزایش بیان ژن *DXR* و بیوستنز کارواکول را در گیاه مرزه خوزستانی نشان می‌دهد.

فوسمیدومیسین نسبت به شاهد تغییر معنی‌داری نداشته و تحت تأثیر این بازدارنده‌ها قرار نمی‌گیرد. غلظت‌های ۷۵ و ۱۰۰ میکرومولار موینولین سبب افزایش معنی‌دار بیان ژن *DXR* شده‌اند، در حالیکه غلظت‌های ۱۰، ۲۵ و ۵۰ میکرومولار از این بازدارنده بر بیان ژن *DXR* بی‌اثر بوده‌اند (شکل ۴). همچنین بررسی‌هایی که بر روی بیان ژن *DXR* در غلظت ۷۵ میکرومولار در مسیر زمان (-Time course gene expression) (شکل ۵) انجام شد، نشان داد



شکل ۴- بررسی بیان ژن *DXR* در غلظت‌های مختلف بازدارنده‌های موینولین و فوسمیدومیسین در گیاه مرزه خوزستانی، (الف) تصویر الکتروفورزی محصول PCR ژن *DXR* و اکتین (کنترل داخلی)، (ب) اندازه‌گیری مقدار نسبی بیان ژن *DXR* در غلظت‌های مختلف موینولین و فوسمیدومیسین با استفاده از نرم‌افزار Image Guage

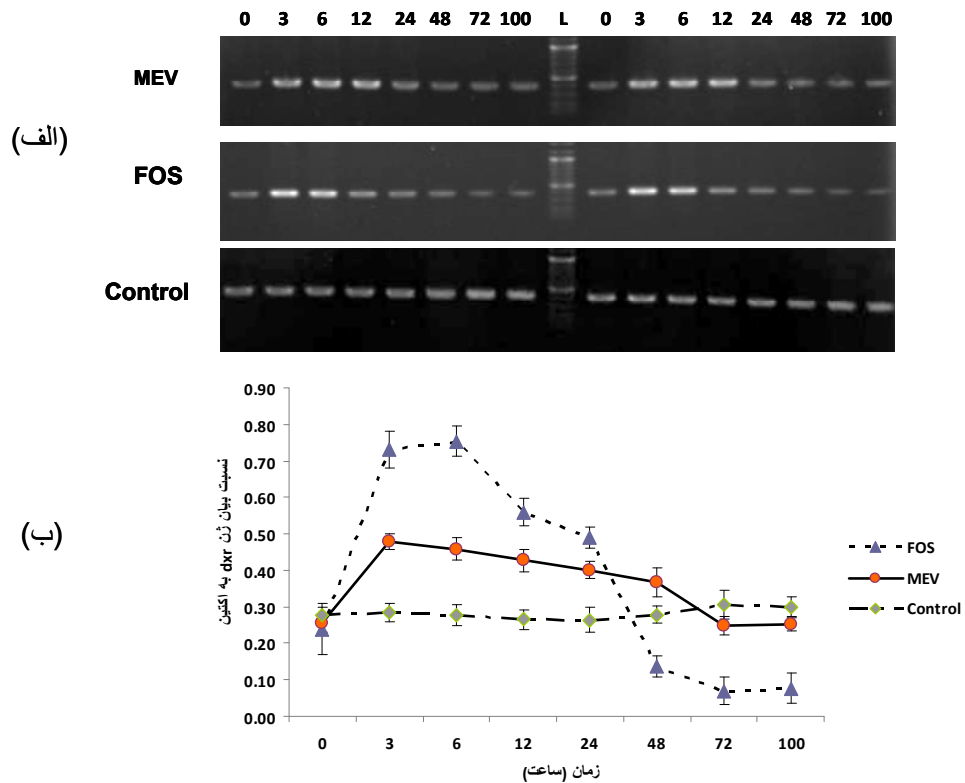
MEV Mevinolin; FOS Fosmidomycin; ACT Actin

DXR، سبب افزایش معنی‌دار مونوترپن‌های موجود در اسانس این گیاه نسبت به نمونه وحشی (wild type) شد و در مقابل، خاموش کردن جری (partial gene silencing) ژن *DXR* در این گیاه سبب کاهش شدید مونوترپن‌ها شد (۴۰). همچنین تحقیقات McConkey و همکاران (۲۰۰۰) نیز همبستگی بین میزان فعالیت و بیان ژن آنزیم‌های مسیر

هرچند نقش تنظیمی آنزیم *DXR* در بیوستنز مونوترپن‌ها بستگی به نوع گیاه، بافت و مرحله نمو دارد، اما گزارش‌هایی در خصوص تنظیم در سطح بیان این ژن و همبستگی مثبت بین میزان بیان ژن *DXR* و تولید مونوترپن‌های مشتق از مسیر MEP کلروپلاستی موجود می‌باشد. در گیاه تراریخت نعنای (*Mentha piperita*)، افزایش بیان ژن

تنظیم بیوستتز مونوترپن‌ها را در سطح بیان ژن *DXR* تأیید نمی‌کنند و مکانیسم‌های پس از رونوشت برداری (posttranscriptional regulatory mechanisms) را بر بیوستتز مونوترپن‌ها مؤثر می‌دانند.

MEP و بیوستتز مونوترپن‌ها را در نعنای (*Mentha piperita*) تأیید می‌کند، اما این همبستگی در گیاه ریحان (*Ocimum basilicum*) بسیار ضعیف گزارش شده است (۲۹)؛ البته گزارش‌های Besser و همکاران (۲۰۰۹)، Xie و همکاران (۲۰۰۸) و Schmiderer و همکاران (۲۰۱۰)



شکل ۵- ردگیری بیان ژن *DXR* در مسیر زمان (Time-course gene expression) در غلظت ۷۵ میکرومولار از بازدارنده‌های ماینولین و فوسمیدومیسین در گیاه مرزه خوزستانی، الف) تصویر الکتروفورزی محصول PCR ژن *DXR* در تیمارهای ماینولین، فوسمیدومیسین و کنترل، ب) اندازه‌گیری مقدار نسبی بیان ژن *DXR* در بازه زمانی صفر تا ۱۰۰ ساعت در تیمارهای ماینولین، فوسمیدومیسین و کنترل با استفاده از نرم‌افزار

Image Gauge

مرزه خوزستانی بطور عمده از مسیر MEP صورت می‌گیرد و آنزیم *DXR* در تنظیم بیوستتز مونوترپن کارواکول نقش داشته و میزان فعالیت آنزیم مذکور در سطح نسخه‌برداری ژن (Transcriptional regulation) کنترل می‌شود.

اگرچه توضیح چگونگی مکانیسم تنظیمی بیان ژن *DXR* بر بیوستتز مونوترپن کارواکول در گیاه مرزه خوزستانی نیازمند شواهد مستدل بیشتری می‌باشد، اما به احتمالی می‌توان گفت که بیوستتز مونوترپن کارواکول در گیاه

منابع

khuzistanica Jamzad در دو مرحله برداشت. فصلنامه علمی-پژوهشی تحقیقات گیاهان دارویی و معطر ایران. جلد 23، شماره 2،

۱. سفیدکن، ف.، صادق زاده، ل.، تیموری، م.، عسگری، ف. و احمدی، ش. (۱۳۸۶). بررسی اثرات ضد میکروبی اسانس دو گونه مرزه *Satureja bachtiarica* Bunge و *Satureja*

طول تکوین گیاه و خواص ضد میکروبی اسانس آن در شرایط
in vitro مجله علوم پایه دانشگاه آزاد اسلامی، جلد ۱۸،
 شماره ۷۰/۱

3. Abdollahi, M.; Salehnia, A.; Mortazavi, SH.; Ebrahimi, M.; Shafiee, A.; Fouladian, F. (2003). Antioxidant, antidiabetic, antihyperlipidemic, reproduction stimulatory properties and safety of essential oil of *Satureja khuzistanica* in rat in vivo: a oxicopharmacological study. *Medicinal Scienc Monitor*, 9: 331–335.
4. Adam, K.; Zapp, J. (1998). Biosynthesis of the isoprene units of chamomile sesquiterpenes. *Phytochemical Analysis*, 48: 953–959.
5. Aharoni, A.; Jongsma, M.A.; Bouwmeester, H.J. (2005). Volatile science? Metabolic engineering of terpenoids in plants. *Trends in Plant Science*, 10: 594–602.
6. Amanlou, M.; Dadkhah, F.; Salehnia, A.; Farsam, H.; Dehpour, A.R. (2005). An anti-inflammatory and anti-nociceptive effects of hydroalcoholic extract of *Satureja khuzistanica* Jamzad extract. *Journal of Pharmaceutical Sciences*, 8: 102–6.
7. Amanlou, M.; Fazeli, M.R.; Arvin, A.; Amin, H.G.; Farsam, H. (2004). Antimicrobial activity of crude methanolic extract of *Satureja khuzistanica*. *Fitoterapia*, 75: 768–70.
8. Arrebola, M. L.; Navarro, M.C.; Jime'nez, J.; Oca'na, F.A. (1994). Yield and composition of the essential oil of *Thymus serpylloides* subsp *serpylloides*. *Phytochemistry*, 1: 67–72.
9. Bach, T.J.; Lichtenthaler, H.K. (1983). Inhibition by mevinolin of plant growth, sterol formation and pigment accumulation. *Physiologia Plantarum*, 59: 50–60.
10. Bach, T.J.; Wettstein, A.; Boronat, A.; Ferrer, A.; Enjuto, M.; Gruissem, W.; Narita, J.O. (1991). Properties and molecular cloning of plant HMG-CoA reductase. In *Physiology and Biochemistry of Sterols*. G. W. Patterson and W. D. Nes, editors. American Oil Chemist's Society, Champaign, IL. 29-49.
11. Berteau, C.M.; Schalk, M.; Karp, F.; Maffei, M.; Croteau, R. (2001). Demonstration That Menthofuran Synthase of Mint (*Mentha*) Is a Cytochrome P450 Monooxygenase: Cloning, Functional Expression, and Characterization of the Responsible Gene. *Archives of Biochemistry and Biophysics*, 390: 279-286
12. Besser, K.; Harper, A.; Welsby, N.; Schauvinhold, I.; Slocombe, S.; Li, Y.; Dixon, R.A.; Broun, P. (2009). Divergent regulation of terpenoid metabolism in the trichomes of wild and cultivated tomato species. *Plant Physiology*, 149: 499–514.
13. Bouwmeester, H.J.; Gershenzon, J.; Konings, M.C.J.M.; Croteau, R. (1998). Biosynthesis of the monoterpenes limonene and carvone in the fruit of caraway - I. Demonstration of enzyme activities and their changes with development. *Plant Physiology*, 117: 901-912
14. Carretero-Paulet, L.; Ahumada, I.; Cunillera, N.; Rodriguez-Concepcion, M.; Ferrer, A.; Boronat, A.; Campos, N. (2002). Expression and molecular analysis of the *Arabidopsis DXR* gene encoding 1-Deoxy-D-xylulose-5-phosphate reductoisomerase, the first committed enzyme of the 2-C-Methyl-Derythritol- 4-phosphate pathway; *Plant Physiology*. 129: 1581–1591
15. Chen, J.W.; Bai, K.D.; Cao, K.F. (2009). Inhibition of monoterpene biosynthesis accelerates oxidative stress and leads to enhancement of antioxidant defenses in leaves of rubber tree (*Hevea brasiliensis*). *Acta Physiologiae Plantarum*, 31: 95–101.
16. Crocoll, C. (2011). Biosynthesis of the phenolic monoterpenes, thymol and carvacrol, by terpene synthases and cytochrome P450s in oregano and thyme. PhD Thesis, Friedrich Schiller-Universität, Jena.
17. Dudareva, N.; Andersson, S.; Orlova, I.; Gatto, N.; Reichelt, M.; Rhodes, D.; Boland, W.; Gershenzon, J. (2005). The nonmevalonate pathway supports both monoterpene and sesquiterpene formation in snapdragon flowers. *Proceedings of the National Academy of Sciences*, 102: 933–938.
18. Farsam, H.; Amanlou, M.; Radpour, MR.; Salehnia, A.N.; Shafiee, A. (2004). Composition of the essential oils of wild and cultivated *Satureja khuzistanica* Jamzad from Iran. *Flavour and Fragrance Journal*, 19: 308-310.
19. Fellermeier, M.; Kis, K.; Sagner, S.; Maier U.; Bacher, A.; Zenk, M.H. (1999). Cell-free conversion of 1-deoxy-d-xylulose 5-phosphate and 2-C-methyl-d-erythritol 4-phosphate into β -carotene in higher plants and its inhibition by fosmidomycin. *Tetrahedron Letters*, 40: 2743–2746.
20. Ghazanfari, G.; Minaie, B.; Yasa, N.; Nakhai, A.L.; Nikfar, A. (2006). Biochemical and

- histopathological evidences for beneficial effects of *Satureja khuzistanica* Jamzad essential oil on the mouse model of inflammatory bowel disease. *Toxicology Mechanisms and Methods*, 16: 365-372.
21. Hadian, J.; Mirjalilia, M.H.; Kananib, M.R.; Salehnia, A.; Ganjipoor, P. (2011). Phytochemical and Morphological Characterization of *Satureja khuzistanica* Jamzad Populations from Iran. *Chemistry and Biodiversity*, 8: 902-915.
 22. Haeri, s.; Minaie, B.; Amin, G.; Nikfar, S.; Khorasani, R.; Esmaily, H. (2006). Effect of *Satureja khuzistanica* essential oil on male rat fertility. *Fitoterapia*, 77: 495-499.
 23. Hampel, D.; Swatski, A.; Mosandl, A.; Wüst, M. (2007). Biosynthesis of Monoterpenes and Norisoprenoids in Raspberry Fruits (*Rubus idaeus* L.): The Role of Cytosolic Mevalonate and Plastidial Methylerythritol Phosphate Pathway.
 24. Helander, I. M.; Alakomi, H-L.; Latva-Kala, K.; Mattila-Sandholm, T.; Pol, I.; Smid, E. J.; Gorris, L. G. M.; Wright, V.A. (1998). Characterization of the action of selected essential oil components on Gram-negative bacteria. *Journal of Agricultural and Food Chemistry*, 46: 3590-3595.
 25. Hemmerlin, A.; Bach, T.J. (1998). Effects of mevinolin on cell cycle progression and viability of tobacco BY-2 cells. *Plant Journal*, 14: 65-74.
 26. Hemmerlin, A.; Hoeffler, J.F.; Meyer, O.; Tritsch, D.; Kagan, I.A.; Billiard, C.G.; Rohmer, M.; Bach, T.J. (2003). Cross-talk between the Cytosolic Mevalonate and the Plastidial Methylerythritol Phosphate Pathways in Tobacco Bright Yellow-2 Cells. *The Journal of Biological Chemistry*, 29: 26666-26676.
 27. Herz S, Wungsintaweekul J, Schuhr CA, Hecht S, Lu ttgen H, Sagner S, Fellermeier M, Eisenreich W, Zenk MH, Bacher A (2000) Biosynthesis of terpenoids: ygbB protein converts 2-phospho-4-(cytidine 5'-diphospho)-2-C-methyl-d-erythritol to 2-C-methyl-d-erythritol 2,4- cyclodiphosphate. *Proceedings of the National Academy of Sciences*, 97: 2486-2490.
 28. Holopainen, J.K.; Gershenzon, J. (2010). Multiple stress factors and the emission of plant VOCs. *Trends in Plant Science*, 15: 176-184.
 29. Iijima, Y.; Davidovich-Rikanati, R.; Fridman, E.; Gang, D.R.; Bar, E.; Lewinsohn, E.; Pichersky, E. (2004). The biochemical and molecular basis for the divergent patterns in the biosynthesis of terpenes and phenylpropenes in the peltate glands of three cultivars of basil. *Plant Physiology*, 136: 3724-3736.
 30. Jacobsen, W.; Kirchner, G.; Hallensleben, K.; Mancinelli, L.; Deters, M.; Hackbarth, I. (1999). Comparison of cytochrome P-450-dependent metabolism and drug interactions of the 3-hydroxy-3-methylglutaryl-CoA reductase inhibitors lovastatin and pravastatin in the liver. *Drug Metabolism and Disposition*, 27: 173-179.
 31. Ji, L.; Wang, F.; Liu, Y. Y.; Tong, Y.; Li, X. D.; Feng, X. F. (2004). Determination of carvacrol and thymol in *Mosla chinensis* by HPLC. *Zhongguo Zhong Yao Za Zhi*, 29: 1030-1032.
 32. Jomaa, H.; Wiesner, J.; Sanderbrand, S.; Altinciek, B.; Weidemeyer, C.; Hintz, M.; Turbachova, I.; Eberl, M.; Zeidler, J.; Lichtenthaler, H.K. (1999). Inhibitors of the nonmevalonate pathway of isoprenoid biosynthesis as antimalarial drugs. *Science*, 285: 1573-1576.
 33. Kheirandish, F.; Delfan, B.; Farhadi, S.; Ezatpour, B.; Khamesipour, K.; Kazemi, B.; Ebrahimzade, F.; Rashidipour, M. (2011). The effect of *Satureja khuzestanica* essential oil on the lesions induced by *Leishmania major* in BALB/c mice. *African Journal of Pharmacy and Pharmacology*, 5(5): 648-653.
 34. Kuzuyama, T.; Shimizu, T.; Takahashi, S.; Seto, H. (1998). Fosmidomycin, a specific inhibitor of 1-deoxy-d-xylulose 5 phosphate reductoisomerase in the nonmevalonate pathway for terpenoid biosynthesis. *Tetrahedron Letters*, 39: 7913-7916.
 35. Lane, A.; Boeckleemann, A.; Woronuk, G.N.; Sarker, L.; Mahmoud, S.S. (2010). A genomics resource for investigating regulation of essential oil production in *Lavandula angustifolia*. *Planta*, 231: 835-845.
 36. Lange, B.M.; Ketchum, E.B.R.; Croteau, R.B. (2001). Isoprenoid Biosynthesis. *Metabolite Profiling of Peppermint Oil Gland Secretory Cells and Application to Herbicide Target Analysis*. *Plant Physiology*, 127: 305-314.
 37. Laule, O.; Fu rholz, A.; Chang, H.S.; Zhu, T.; Wang, X.; Gruissem, W.; Lange, B.M. (2003). Crosstalk between cytosolic and plastidial pathways of isoprenoid biosynthesis in *Arabidopsis thaliana*. *Proceedings of the National Academy of Sciences*, 100: 6866-6871.
 38. Linsmaier, E.M.; Skoog, F. (1965). *Organic*

- growth factor requirements of tobacco tissue culture. *Physiologia Plantarum*, 18: 100-127.
39. Loreto, F.; Pinelli, P.; Manes, F.; Kollist, H. (2004). Impact of ozone on monoterpene emissions and evidence for an isoprene-like antioxidant action of monoterpenes emitted by *Quercus ilex* leaves. *Tree Physiology*, 24: 361–367.
 40. Mahmoud, S.S.; Croteau, R.B. (2001.) Metabolic engineering of essential oil yield and composition in mint by altering expression of deoxyxylulose phosphate reductoisomerase and menthofuran synthase. *Proceedings of the National Academy of Sciences*, 98: 8915–8920.
 41. Mahmoud, S.S.; Croteau, R.B. (2002). Strategies for transgenic manipulation of monoterpene biosynthesis in plants. *Trends in Plant Science*, 7: 366–373.
 42. Mau, C.J.D.; Karp, F.; Ito, M.; Honda, G.; Croteau, R.B. (2010). A candidate cDNA clone for (-)- limonene-7-hydroxylase from *Perilla frutescens*. *Phytochemistry*, 71: 373-379
 43. McConkey, M.E.; Gershenzon, J.; Croteau, R.B. (2000). Developmental regulation of monoterpene biosynthesis in the glandular trichomes of peppermint. *Plant Physiology*, 122: 215–224.
 44. Ramak, P.; Sharifi, M.; Kazempour, S.O.; Ebrahimzadeh, H.; Behmanesh, M. (2011). Studies on seed germination and *in vitro* shoot multiplication of *Satureja khuzistanica* Jamzad, an important medicinal plant. *African Journal of Biotechnology*, 10 (83): 19407-19414.
 45. Rodríguez-Concepción, M.; Gruissem, W. (1999). Arachidonic acid alters tomato *HMG* expression and fruit growth and induces 3-hydroxy-3-methylglutaryl coenzyme A reductase-independent lycopene accumulation. *Plant Physiology*, 119, 41–48.
 46. Rodríguez-Concepción, M.; Boronat, A. (2002). Elucidation of the methylerythritol phosphate pathway for isoprenoid biosynthesis in bacteria and plastids. A metabolic milestone achieved through genomics. *Plant Physiology*, 130: 1079–1089.
 47. Rohmer, M. (2003.) Mevalonate-independent methylerythritol phosphate pathway for isoprenoid biosynthesis: elucidation and distribution. *Pure and Applied Chemistry* 75: 375–388.
 48. Rohmer, M.; Seemann, M.; Horbach, S.; Bringermyer, S.; Sahm, H. (1996). Glyceraldehyde 3-phosphate and pyruvate as precursors of isoprenic units in an alternative non-mevalonate pathway for terpenoid biosynthesis. *Journal of the American Chemical Society* 118: 2654–2566.
 49. Saaadat, M.; Pornormohamadi, S.; Donyavi, M.; Khorasani, R.; Amin, G.; Salehnia, A. (2004). Altration of rat hepatic glycogen phosphorylase and phosphoenolpyruvate carboxykinase activities by *Satureja khuzistanica* Jamzad essential oil. *Journal of Pharmaceutical Sciences*, 7: 310-314.
 50. Safarnavadeh, T.; Rastegarpanah, M. (2011). Antioxidants and infertility treatment, the role of *Satureja Khuzestanica*: A mini-systematic review. *Iranian Journal of Reproductive Medicine*, 9 (2): 61-70.
 51. Schmiderer, C.; Grausgruber-Gröger, S.; Grassi, P.; Steinborn, R.; Novak, J. (2010). Influence of gibberellin and daminozide on the expression of terpene synthases in common sage (*Salvia officinalis*). *Journal of Plant Physiology*, 167: 779–786.
 52. Schuhr, C.A.; Radykewicz, T.; Sagner, S.; Latzel, C.; Zenk, M.H.; Arigoni, D.; Bacher, A.; Rohdich, F.; Eisenreich, W. (2003). Quantitative assessment of crosstalk between the two isoprenoid biosynthesis pathways in plants by NMR spectroscopy. *Phytochemistry Reviews*, 2: 3–16.
 53. Sefidkon, F.; Abbasi, k.; Jamzad, Z.; Ahmadi, S. (2007). The effect of distillation methods and stage of plant growth on the essential oil content and composition of *Satureja rechingeri* Jamzad. *Food Chemistry*, 100: 1054–1058.
 54. Shahsavari, R.; Ehsani, A.; Houshmand, M.; Salehnia, a.; Ahangari, G.; Firoozrai, M. (2009). Plasma Glucose lowering effect of the wild *Satureja khuzistanica* Jamzad essential oil in diabetic rat : role of decreased gluconeogenesis. *Pakistan journal of biological sciences*, 12(2):140-145.
 55. Stermer, B.A.; Bianchini, G.M.; Korth, K.L. (1994). Regulation of HMG-CoA reductase activity in plants. *Journal of Lipid Research*, 35 : 1133-1140.
 56. Towler, M.J and Weathers, P.J. (2007). Evidence of artemisinin production from IPP stemming from both the mevalonate and the nonmevalonate pathways. *Plant Cell Reports*, 26: 2129–2136.
 57. Ultee, A.; Bennik, M.H.J.; Moezelaar, R. (2002). The phenolic hydroxyl group of carvacrol is essential for action against the food-

- borne pathogen *Bacillus cereus*. *Applied and Environmental Microbiology*, 68:1561-1568.
58. Ultee, A.; Kets, E.P.W.; Smid, E.J. (1999). Mechanisms of action of carvacrol on the foodborne pathogen *Bacillus cereus*. *Applied and Environmental Microbiology*, 65:4606-4610.
59. Weissenborn, D.L.; Denbow, C.J.; Laine, M.; Lång, S.S.; Yang, Z.; Yu, X.; Cramer, C.L. (1995). HMG-CoA reductase and terpenoid phytoalexins: molecular specialization within a complex pathway. *Physiologia Plantarum*, 93: 393-400.
60. Wildung, M.R.; Croteau, R.B. (2005). Genetic engineering of peppermint for improved essential oil composition and yield. *Transgenic Research*, 14: 365-372.
61. Xie, Z.; Kapteyn, J.; Gang, D.R. (2008). A systems biology investigation of the MEP/terpenoid and shikimate/phenylpropanoid pathways points to multiple levels of metabolic control in sweet basil glandular trichomes. *Plant Journal*, 54: 349-61.
62. Zeidler, J.; Schwender, J.; Muller, C.; Wiesner, J.; Weidemeyer, C.; Beck, E.; Jomaa, H.; Lichtenthaler, H.K. (1998). Inhibition of the non mevalonate 1-deoxy-d-xylulose 5-phosphate pathway of plant isoprenoid biosynthesis by fosmidomycin. *Z Naturforsch*, 53: 980-986.
63. Zhi, L.; Long-Jiang, Y.U., Chun-Yan, L.I.; Chun-Fang, Z. (2005). Effects of Fosmidomycin and Lovastatin Treatment on Taxol Biosynthesis in Suspension Culture Cells of *Taxus chinensis*. *Journal of Plant Physiology and Molecular Biology*, 31 (2): 199-204.

Expression of gene 1-deoxy-D-xylulose 5-phosphate reductoisomerase and its relation to monoterpene carvacrol biosynthesis in *Satureja khuzestanica*

Ramak P.¹, Kazempour Osaloo S.¹, Ebrahimzadeh H.² Sharifi M.¹ and Behmanesh M.³

¹ Plant Biology Dept., Faculty of Biological Sciences, Tarbiat Modares University, Tehran, I.R. of Iran

² Botany Dept., Faculty of Biological Sciences, College of Science, University of Tehran, Tehran, I.R. of Iran

³ Genetics Dept., Faculty of Biological Sciences, Tarbiat Modares University, Tehran, I.R. of Iran

Abstract

Satureja khuzistanica Jamzad is a native plant that is dispersed throughout southern Iran. This plant has been used as analgesic and antiseptic medication among the inhabitants of southern parts of Iran. Carvacrol as the main component of the wild *S. khuzistanica* (≤90%) has been found to have significant antioxidant properties. In this study, the shoot cultures of *Satureja khuzestanica* in LS medium were affected by different concentrations of FOS and MEV (0, 10, 25, 50, 75 and 100 μM) for 21 days. Then the Carvacrol content in different treatments was assayed by HPLC method. The level of 1-Deoxy-D-xylulose 5-phosphate reductoisomerase (*DXR*) gene expression in concentrations above and the optimal concentration (75 μM) in durations of 0 to 100 hours was monitored by Semi-quantitative RT-PCR method. Our results showed that some concentrations of inhibitors can have an influence on *DXR* expression and carvacrol contents. The changes observed in carvacrol can be considered as a result of different levels of *DXR* expression.

Key words: Carvacrol, 1-Deoxy-D-xylulose 5-phosphate reductoisomerase (*DXR*), *Satureja khuzestanica*, Semi-quantitative RT-PCR